

**Mecanismos de adaptación autonómica de arquitectura software para la  
plataforma Smart Campus UIS**

**Daniel David Delgado Cervantes**

**Trabajo de grado para optar el título de Ingeniero de Sistemas**

**Director**

**PhD. Gabriel Rodrigo Pedraza Ferreira**

**Escuela De Ingeniería De Sistemas e Informática**

**Codirector**

**MSc. Henry Andrés Jiménez Herrera**

**Escuela De Ingeniería De Sistemas e Informática**

**Universidad Industrial de Santander**

**Facultad De Ingenierías Fisicomecánicas**

**Escuela De Ingeniería De Sistemas E Informática**

**6 de enero de 2024**

## Dedicatoria

## Agradecimientos

Al bicho siuuu

## Contenido

<b>Introducción</b>	<b>1</b>
<b>1. Planteamiento del problema</b>	<b>2</b>
<b>2. Objetivos</b>	<b>3</b>
2.1. Objetivo General . . . . .	3
2.2. Objetivos Específicos . . . . .	3
<b>3. Estado del Arte</b>	<b>4</b>
3.1. Computación Autonómica . . . . .	4
3.1.1. MAPE-K . . . . .	5
3.1.2. Mecanismos de Descripción . . . . .	7
3.1.3. Mecanismos de Adaptación . . . . .	8
3.2. Sistemas IoT Autonómicos . . . . .	9
3.2.1. Toma de Decisiones en Sistemas IoT Autonómicos . . . . .	10
<b>4. Marco Teórico</b>	<b>11</b>
4.1. Internet of Things . . . . .	11
4.1.1. Sistemas Embebidos . . . . .	11
4.1.2. Location-based Services . . . . .	11
4.1.3. Smart Campus . . . . .	12
4.2. Notación . . . . .	12
4.2.1. Gramática . . . . .	12
4.2.2. Sintaxis . . . . .	13
4.2.3. Domain-Specific Languages . . . . .	13
4.3. Serialización de Datos . . . . .	13
4.3.1. Métodos de Serialización de Datos . . . . .	14

<b>5. Metodología de la Investigación</b>	<b>14</b>
5.1. Ambientación Conceptual y Tecnológica . . . . .	15
5.2. Definición de la notación de la arquitectura . . . . .	16
5.3. Mecanismos De Comparación . . . . .	16
5.4. Mecanismos De Adaptación . . . . .	17
5.5. Validación De Resultados . . . . .	17
<b>6. Lenguajes de Descripción de Arquitectura</b>	<b>19</b>
6.1. La necesidad de una arquitectura de referencia . . . . .	19
6.2. Criterios de selección . . . . .	19
6.3. Búsqueda de Alternativas . . . . .	20
6.4. Un nuevo modelo para Smart Campus . . . . .	23
6.5. Sintaxis de la notación . . . . .	27
6.6. Implementando Una Validación . . . . .	29
<b>7. Estado Actual Frente al de Referencia</b>	<b>31</b>
7.1. Conociendo el estado actual . . . . .	31
7.2. Implementado un Event-Handler . . . . .	32
7.3. Comparando Arquitecturas . . . . .	35
<b>Referencias</b>	<b>A</b>
<b>A. Apéndices</b>	<b>G</b>
A.1. Ejemplo de un YAML de una aplicación válida . . . . .	G

## Lista de figuras

1.	El ciclo auto-adaptativo MAPE-K. . . . .	6
2.	Metodología del proyecto . . . . .	15
3.	Versión 2 del modelo concepto planteado por . . . . .	24
4.	Mensaje JSON enviado por los dispositivos en Smart Campus UIS . . . . .	25
5.	Versión 1 del metamodelo planteado para SCampusADL . . . . .	26
6.	Diagrama de rail de la sintaxis definida para la notación de SmartCampusADL	27
7.	Diagrama de rail de la sintaxis definida para la notación del contexto geográfico de la aplicación . . . . .	28
8.	Diagrama de rail de la sintaxis definida para la notación de los componentes de la aplicación . . . . .	28
9.	Diagrama de flujo del proceso realizado por el módulo <i>Lexical</i> . . . . .	30
10.	Arquitectura del prototipo de Smart Campus definido por . . . . .	32
11.	Primera propuesta del proceso a realizar por el observador a implementar . . . . .	33
12.	Arquitectura actual del proyecto . . . . .	35
13.	Diagrama de flujo del recorrido de las locaciones . . . . .	37
14.	Diagrama de flujo del proceso de comparación de los componentes . . . . .	38

## Lista de tablas

1.	Criterios usados para la determinación de la notación a utilizar . . . . .	20
2.	Evaluación de las alternativas en función de los criterios establecidos . . . . .	23

## Glosario

**IoT:** Internet of Things

**LDA:** Lenguaje de Descripción de Arquitectura (Architecture Description Language)



## Introducción

La computación autónoma, concebida inicialmente por IBM en el año 2001, se refiere al uso de sistemas auto-gestionados con la capacidad de operar y adaptarse, o en lo posible, sin la intervención de un ser humano. En este sentido, este acercamiento tiene como objetivo la creación de sistemas computacionales capaces de reconfigurarse en respuesta a cambios en las condiciones del entorno de ejecución al igual que los objetivos del negocio (Horn, 2001).

Esta autonomía es adquirida con el uso de ciclos de control, en el caso de la computación autónoma, de los ciclos más populares es el ciclo MAPE-K, sigla de *Monitor Analyze Plan Execute - Knowledge* (Arcaini, Riccobene, y Scandurra, 2015). Estos le dan la capacidad al sistema de monitorear tanto su estado actual como el entorno en el que este se encuentra, analizar la información recolectada para luego planear y ejecutar los cambios requeridos sobre el sistema a partir de una base de conocimiento (Rutanen, 2018).

Una de las áreas que pueden verse especialmente beneficiadas de la computación autónoma es la del internet de las cosas (IoT). Algunos de estos aspectos están relacionados con la heterogeneidad de estos dispositivos, en cuanto a marcas, protocolos y características; la dinamicidad, en cuanto al movimiento que estos presentan entre entornos de ejecución o incluso una desconexión; al igual que la distribución geográfica de estos lo cual dificulta la intervención directa sobre ellos (Tahir, Mamoon Ashraf, y Dabbagh, 2019).

Esto puede verse el Smart Campus UIS, una plataforma IoT de la Universidad Industrial de Santander, que permite usar dispositivos con el fin de monitorear y recolectar de información en tiempo real con el objetivo de apoyar la toma de decisiones, mejora de servicios, entre otros (H. Jiménez Herrera, Cárcamo, y Pedraza, 2020).

Ahora, esta plataforma ha tenido esfuerzos en el desarrollo de características propias de un sistema autónomo. Uno de estos ha sido la integración de mecanismos para la auto-descripción de la arquitectura desplegada en un momento dado (H. A. Jiménez Herrera, 2022). En el contexto de la computación autónoma, esta capacidad hace parte del monitoreo

dentro del ciclo de control.

Partiendo de lo anterior, y con la intención de dar continuidad con los esfuerzos de desarrollo realizados en Smart Campus UIS, se plantea como caso de estudio, a partir de las capacidades de auto-descripción que la plataforma, se pretende el proveer a esta la capacidad de auto-configuración a partir de un conjunto de mecanismos de adaptación que permitan, desde la definición de un objetivo a lograr, la alteración de la arquitectura desplegada.

## 1 Planteamiento del problema

La complejidad de los sistemas computacionales tiene origen en diversos factores. El aumento de la cantidad de dispositivos que los componen; la heterogeneidad debido a diferentes marcas, protocolos y características; e incluso las cambiantes condiciones de sus entornos de ejecución; dificulta la administración de los sistemas computacionales (Salehie y Tahvildari, 2005).

Una de las posibles maneras de dar solución a esta problemática, en cuanto al manejo de sistemas, está en el área de la computación autonómica. Este acercamiento basado en conceptos biológicos busca solventar los problemas de complejidad, heterogeneidad e incertidumbre (Salehie y Tahvildari, 2005) a partir de la abstracción de las metas de los administradores y delegación del manejo del sistema a sí mismo (Lalanda, Diaconescu, y McCann, 2014).

Considerando lo anterior, una de las aplicaciones de la computación autonómica, dentro del IoT, son los Smart Campus; una variación de las Smart Cities en las cuales se busca la recolección de información y monitoreo en tiempo real con el fin de apoyar la toma de decisiones, mejora de servicios, entre otros (Min-Allah y Alrashed, 2020). Es en este tipo de aplicaciones donde los problemas, en especial la heterogeneidad, dinamicidad, al igual que la distribución geográfica; donde la reducción de la dependencia de intervención humana, facilitaría el manejo de estos.

De lo anterior, surge la pregunta del cómo realizar dichas adaptaciones a la arquitectura, o estado del sistema. Qué clase de mecanismos y requerimientos han de ser satisfechos con

el fin de considerar, a un sistema computacional, con la capacidad de auto-adaptarse dados unos objetivos o metas establecidas por los administradores del sistema.

Dentro del marco del presente proyecto, se tiene Smart Campus UIS, una plataforma de IoT de la Universidad Industrial de Santander, en la cual se han realizado implementaciones parciales de una arquitectura autonómica con capacidad de auto-describirse (H. A. Jiménez Herrera, 2022), una de las características principales de un sistema autonómico (Horn, 2001).

Dicho esto, se busca explorar algunas de las maneras en las que se realizan adaptaciones con características autonómicas en sistemas computacionales. De esto, se buscaría probar un conjunto de estos mecanismos de modificación del estado, tomando como caso de estudio la implementación de estos en la plataforma de Smart Campus UIS.

## 2 Objetivos

### 2.1 Objetivo General

- Diseñar un conjunto de mecanismos autonómicos para permitir la adaptación de la Arquitectura Software IoT respecto a un modelo objetivo en la plataforma Smart Campus UIS

### 2.2 Objetivos Específicos

- Proponer una notación (lenguaje) para describir una arquitectura objetivo de un sistema software IoT.
- Diseñar un mecanismo para determinar las diferencias existentes entre una arquitectura actual en ejecución y una arquitectura objetivo especificada.
- Diseñar un conjunto de mecanismos de adaptación que permitan disminuir las diferencias entre la arquitectura actual y la arquitectura objetivo.

- Evaluar la implementación realizada a partir de un conjunto de pruebas con el fin de establecer la efectividad de los mecanismos usados.

### 3 Estado del Arte

Con el objetivo de explorar a fondo el panorama actual de la computación autonómica, y en particular, los mecanismos de adaptación de arquitecturas de software y los requisitos fundamentales para su implementación, se llevó a cabo una revisión de la literatura en diversas bases de datos. Esta revisión abarcó un recorrido que partió de una visión general y se adentró en aspectos cada vez más específicos. Durante este proceso, se examinaron detalladamente las propuestas y componentes clave de sistemas de software autonómicos, así como las diversas nociones relacionadas con notaciones, algoritmos para la comparación de estructuras de datos y los mecanismos esenciales para la adaptación de arquitecturas de software.

#### 3.1 Computación Autonómica

El concepto de computación autonómica, definido inicialmente por IBM (2001), se refiere a un conjunto de características que presenta un sistema computacional el cual le permite actuar de manera autónoma, o auto-gobernarse, con el fin de alcanzar algún objetivo establecido por los administradores del sistema (Lalanda y cols., 2014).

Los 8 elementos clave, definidos por IBM, que deberían presentar este tipo de sistemas son:

1. Auto-conocimiento: habilidad de conocer su estado actual, las interacciones del sistema.
2. Auto-configuración: capacidad de reconfigurarse frente a los constantes cambios en el entorno.
3. Auto-optimización: búsqueda constante de optimizar el funcionamiento de sí mismo.
4. Auto-sanación: aptitud de restaurar el sistema en el caso de que se presenten fallas.

5. Auto-protección: facultad de protegerse a sí mismo de ataques externos.
6. Auto-conciencia: posibilidad de conocer el ambiente en el que el sistema se encuentra.
7. Heterogeneidad: capacidad de interactuar con otros sistemas de manera cooperativa.
8. Abstracción: ocultar la complejidad a los administradores del sistema con objetivos de alto nivel de abstracción.

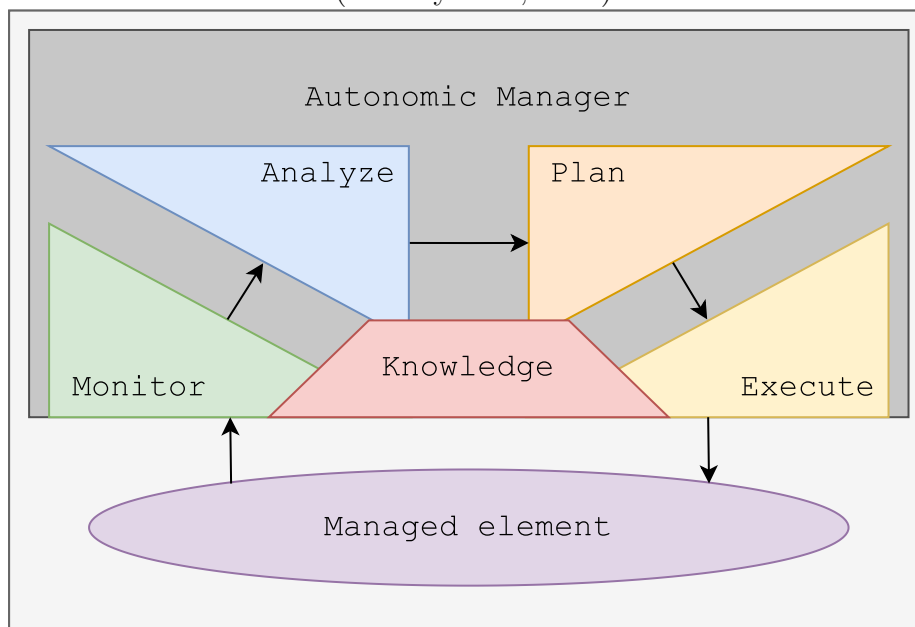
En el caso de que un sistema tenga una implementación parcial de estas características, este podría considerarse autonómico. En este sentido debería tener la capacidad de lidiar con los problemas como la complejidad, heterogeneidad e incertidumbre (Salehie y Tahvildari, 2005) al igual que reducir la cantidad de recursos tanto técnicos como humanos requeridos para mantener los sistemas en funcionamiento.

### **3.1.1 MAPE-K**

IBM, en cuanto a la implementación de las características, propone una modelo de ciclo auto-adaptativo, denominado MAPE-K (Krikava, 2013). Este acercamiento, compuesto de cinco fases, es uno de ciclos de control más usado en implementaciones de sistemas auto-adaptativos y computación autonómica (Arcaini y cols., 2015). En la figura 1, se presentan las fases que *manejador* debe desarrollar para así administrar cada uno de los elementos del sistema computacional basado en una base de conocimiento común (Gorla, Pezzè, Wuttke, Mariani, y Pastore, 2010).

Figura 1: El ciclo auto-adaptativo MAPE-K.

(Gorla y cols., 2010)



Cada una de estas fases son:

- Monitorear (M): Esta fase se compone de la recolección, filtración y reportar la información adquirida sobre el estado del elemento a manejar.
- Analizar (A): La fase de análisis se encarga del interpretar el entorno en el cual se encuentra, el predecir posibles situaciones comunes y diagnosticar el estado del sistema.
- Planear (P): Durante la planificación se determina las acciones a tomar con el fin de llegar a un objetivo establecido a partir de una serie de reglas o estrategias.
- Ejecutar (E): Finalmente, se ejecuta lo planeado usando los mecanismos disponibles para el manejo del sistema.

Es de resaltar que este modelo, aunque útil para el desarrollo de este tipo de sistemas, es bastante general en cuanto a la estructura y no usan modelos de diseño establecidos (Ouareth, Boulehouache, y Mazouzi, 2018).

### 3.1.2 Mecanismos de Descripción

La fase de monitoreo dentro del ciclo MAPE-K es vital para el funcionamiento del manejador autónomo pues es a partir de la información que se construirá la base de conocimiento requerida por las demás partes del ciclo. Parte de esta, está compuesta por el *estado del sistema* el cual incluye la descripción del sistema en un momento dado (Weiss, Zeller, y Eilers, 2011).

Existen varias maneras de realizar implementaciones de mecanismos de auto-descripción y la utilidad de cada uno de estos varía dependiendo en el tipo de sistema de software que se esté usando. Para el marco del proyecto, nos interesan aquellos que estén orientados a los sistemas embebidos e IoT, algunos de estos son:

- **JSON Messaging:** Iancu y Gatea (2022) plantean un protocolo que emplea mensajería entre *gateways* con el fin de recibir información sobre estas. En términos simples, estas funcionan como un *ping* hacia el nodo que luego retorna sus datos, al igual que los dispositivos conectados a ella, al encargado de recolectar toda esta información con el fin de construir una descripción del sistema.-
- **IoT Service Description Model:** O IoT-LMsDM, es un servicio de descripción desarrollado por Wang, Sun, y Aiello (2021) el cual está orientado al contexto, servicios e interfaz de un sistema IoT. De este se espera poder contar no solo con descripciones del estado del sistema en términos del ambiente, pero la funcionalidad (es decir, los *endpoints* a usar) al igual que las estructuras de datos que estos consumen.
- **Adaptadores de Auto-descripción:** En este acercamiento a los mecanismos de auto-descripción, se tienen adaptadores los cuales emplean los datos generados por los sensores del componente gestionado con el fin de realizar la determinación de la arquitectura desplegada. De igual manera, este acercamiento permite realizar modificaciones a la descripción de manera manual en caso de que se detecten problemas (H. A. Jiménez Herrera, 2022).

De esto podemos ver no solo las diferentes maneras en las que las implementaciones realizan las descripciones de los sistemas asociados, sino que también el alcance de estos en cuanto a lo que pueden describir.

### 3.1.3 *Mecanismos de Adaptación*

La adaptación, en el contexto de la computación autonómica, es la parte más importante en cuanto a la auto-gestión de un sistema de software se refiere. Así mismo, presenta el mayor reto debido a la necesidad de modificar código de bajo nivel, tener que afrontarse a incertidumbre de los efectos que pueden tener dichas alteraciones al sistema al igual que lidiar con esto en *runtime* debido a los problemas que el *downtime* tendría en los negocios (Lalanda y cols., 2014).

Esta adaptabilidad puede exponerse en múltiples puntos dentro de un sistema de software. Pueden realizarse adaptaciones en sistema operativo, lenguaje de programación, arquitectura e incluso datos (Lalanda y cols., 2014).

Manteniéndose en el marco del proyecto, son las implementaciones relacionadas con la modificación de la arquitectura los cuales nos interesan. Siendo así, nos centraremos en los mecanismos de adaptación de componentes, o de reconfiguración:

- **Binding Modification:** Este mecanismo hace referencia a la alteración de los vínculos entre los diferentes componentes de la arquitectura. Estos tienen el objetivo de modificar la interacción entre componentes, lo que es especialmente común en implementaciones con *proxies*. Este tipo de mecanismo de adaptación fue usado por Kabashkin (2017) para añadir fiabilidad a la red de comunicación aérea.
- **Interface Modification:** Las interfases funcionan como los puntos de comunicación entre los diferentes componentes de la arquitectura. Siendo así, es posible que la modificación de estos sea de interés con el fin de alterar el comportamiento de un sistema al igual que soportar la heterogeneidad del sistema. Esto puede verse en el trabajo



desarrollado por Liu, Parashar, y Hariri (2004) en donde definen la utilidad de dichas adaptaciones al igual que la implementación de las mismas.

- **Component Replacement, Addition and Subtraction:** En términos simples, este mecanismo se encarga de alterar los componentes que componen la arquitectura; de esta manera, modificando su comportamiento. Ejemplos de esto puede verse en el trabajo de Huynh (2019) en el cual se evalúan varios acercamientos a la reconfiguración de arquitecturas a partir del remplazo de componentes a nivel individual al igual que grupal.

Este acercamiento a la mutación de la arquitectura también puede verse en el despliegue de componentes como respuesta a cambios en los objetivos de negocio de las aplicaciones al igual que como respuesta a cambios inesperados dentro de la aplicación. Esto puede verse en trabajos como el de Patouni y Alonistioti (2006) donde se realizan este tipo de implementaciones.

### 3.2 Sistemas IoT Autonomicos

Partiendo de lo anteriormente establecido, una de las áreas en las que estos conceptos de computación autónoma se ha hecho presente es el campo del IoT. Estos acercamientos entre estas dos ramas de las ciencias de la computación se ha venido presentado con la búsqueda de dar a los sistemas IoT la capacidad de adaptarse en a su ambiente con el fin de realizar optimizaciones de los recursos disponibles con el fin de reducir costos, al igual que la necesidad de interacción humana, con la automatización de la configuración así como los procesos de mantener la disponibilidad de los servicios de estos (Ashraf, Tahir, Habaebi, y Isoaho, 2023).

Ejemplos de estas implementaciones de propiedades autónomas en sistemas IoT pueden apreciarse en trabajos como el de Rajan, Balamuralidhar, Chethan, y Swarnahpriyaah (2011), donde después de trabajar con diferentes protocolos de manejo de redes con el fin de poder realizar una administración de una red de sensores, se determinó que el manejo de

un sistema de tal magnitud sería la limitante principal en el crecimiento del mismo. Esto terminó en creación de un *control loop* el cual se encargaba de la configuración automática de la red de sensores a partir de parámetros ambientales y objetivos de calidad de servicio.

### 3.2.1 Toma de Decisiones en Sistemas IoT Autonomicos

Algo a resaltar es el tipo de métricas con las cuales se determina la validez. Estas varían dependiendo de las necesidades de las implementación al igual que los objetivos definidos por los administradores del sistema. Durán-Polanco y Siller (2023), identificaron cuatro tipos de maneras de tomar decisiones sobre un sistema IoT.

- **Criterion-Driven:** Orientado principalmente al uso de algoritmos con el fin de establecer el camino a seguir en la toma de decisiones. Este acercamiento puede tener asociado un modelo matemático, algoritmos genéticos, Q-Learning, etc. dependiendo de la complejidad del sistema.
- **Data-Driven:** En este, a partir de datos de entrada y salida definidos, se busca determinar cómo generar datos de nuevo salida definidos dadas unas entradas. Estas están se usan principalmente en implementaciones que usan aprendizaje supervisado o sin supervisión.
- **Utility-Driven:** En el caso de la utilidad, se refiere a la comparación y evaluación de diferentes alternativas de modelos matemáticos con el fin de establecer una mejor toma de decisiones. Este está relacionado con algunos conceptos usados en teoría de juegos y modelos multicriterio.
- **Probability-Driven:** Este hace uso de modelos probabilísticos, tales como estocásticos o bayesianos, para la toma de decisiones. Normalmente se emplean para aprendizaje no supervisado para la determinación de parámetros a partir de un punto común dados unos datos.

## 4 Marco Teórico

### 4.1 Internet of Things

El Internet de las cosas, o IoT (Internet of Things); es una de las áreas de las ciencias de la computación en la cual se embeben diferentes dispositivos en objetos del día a día. Esto les da la capacidad de enviar y recibir información con el fin de realizar monitoreo o facilitar el control de ciertas acciones (Berte, 2018).

Esta tecnología, debido a su flexibilidad al igual que el alcance que puede tener, presenta una gran cantidad de aplicaciones que va desde electrónica de consumo hasta la industria. Encuestas realizadas en el 2020 reportan su uso en smart homes, smart cities, transporte, agricultura, medicina, etc. (Dawood, 2020).

#### 4.1.1 *Sistemas Embebidos*

Los sistemas de cómputo embebidos hacen referencia a un sistema compuesto de micro-controladores los cuales están orientados a llevar a cabo una función o un rango de funciones específicas (Heath, 2002). Este tipo de sistemas, debido a la posibilidad de combinar hardware y software en una manera compacta, se ha visto en múltiples campos de la industria como lo son el sector automotor, de maquinaria industrial o electrónica de consumo (Deichmann, Doll, Klein, Mühlreiter, y Stein, 2022).

#### 4.1.2 *Location-based Services*

Location-Based Services, o servicios basados en ubicación, hace referencia a aquellos servicios los cuales integran la ubicación geográfica de un dispositivo como una parte fundamental la cual da un valor agregado al usuario (Schiller y Voisard, 2004). Este tipo de servicios han sido principalmente usados en aplicaciones relacionadas con entornos inteligentes, modelado espacial, personalización, conciencia de contexto, comunicación cartográfica, redes sociales, análisis de datos masivos, entre otros (Gartner y Huang, 2015; Allied Market

Research, 2023).

### **4.1.3 Smart Campus**

Un Smart Campus, equiparable con el concepto de Smart City, es una plataforma en la que se emplean tecnologías, sumado a una infraestructura física, con la cual se busca la recolección de información y monitoreo en tiempo real (Min-Allah y Alrashed, 2020). Los datos recolectados tienen el objetivo de apoyar la toma de decisiones, mejora de servicios, entre otros (Anagnostopoulos, 2023).

Estas plataformas, debido a su escala y alcance en cuanto a la cantidad de servicios que pueden ofrecer, requieren de infraestructuras tecnológicas las cuales den soporte a los objetivos del sistema. Es posible ver implementaciones orientadas a microservicios en trabajos de H. Jiménez Herrera y cols. (2020) donde se desarrolla una plataforma de software escalable con la cual se pueda lograr interoperatividad y alta usabilidad para todos.

## **4.2 Notación**

De manera general, notación se refiere a una serie de caracteres, símbolos, figuras o expresiones usadas con el fin de expresar un sistema, método o proceso (Merriam, Webster, 2023a). Más específicamente en el contexto de las ciencias de la computación, las notaciones han sido usadas para la representación de estructuras y arquitecturas en el software, como lo son lenguajes de modelado tales como UML (Object Management Group, 2005); lenguajes de programación, como C/C++, Ruby (Bansal, 2013); algoritmia de manera visual (Rutanen, 2018); entre otros.

### **4.2.1 Gramática**

La gramática, en el caso de los lenguajes, es un conjunto de reglas la cual es usada para describir tanto la sintaxis como la semántica de una lenguaje de programación (Sebesta, 2012). Siendo así, estas cumplen la función de describir una frase considerada válida dentro

del contexto de un lenguaje dado (Sipser, 2012, p. 101). Existen varios tipos de gramática tales como gramáticas de atributos, gramáticas libres de contexto, etc. (Sebesta, 2012).

#### **4.2.2 Sintaxis**

La sintaxis se refiere a la forma en la cual elementos, pertenecientes a un lenguaje, se estructuran de forma ordenada con el fin de formar estructuras más grandes (Merriam, Webster, 2023b). En el contexto de las ciencias de la computación, esta definición se puede expresar como un conjunto de reglas con las cuales regimos la forma en que escribimos en diferentes lenguajes de programación, marcado, entre otros (Friedman y Wand, 2008, p. 51).

#### **4.2.3 Domain-Specific Languages**

Los *Domain-Specific Languages* (DSL), o Lenguaje de dominio específico, son lenguajes de programación los cuales se usan con un fin específico. Estos están orientados principalmente al uso de abstracciones de un mayor nivel debido al enfoque que estos tienen para la solución de un problema en específico (Kelly y Tolvanen, 2008). Ejemplos de este tipo de acercamiento, en el caso del modelado (*Domain-specific modeling*), pueden observarse en los diagramas de entidad relación usados en el desarrollo de modelos de base de datos (Celikovic, Dimitrieski, Aleksic, Ristić, y Luković, 2014).

### **4.3 Serialización de Datos**

La serialización de datos se refiere a la traducción de una estructura de datos a una manera en la que pueda ser almacenada o transmitida de manera eficiente (Mozilla Foundation, 2023a). Este proceso ha sido, principalmente, adoptado por lenguajes de programación orientada a objetos en donde existe un soporte nativo, tales como Go, JavaScript, o PHP; o existe algún tipo de framework o librería que permite hacerlo, como lo es en el caso de C/C++, Rust o Perl.

### 4.3.1 Métodos de Serialización de Datos

Dentro del ámbito de la programación, se encuentran diversas opciones en cuanto a formatos y técnicas empleadas para la serialización de datos. Cada uno de estos enfoques presenta sus particularidades, lo que resulta en ventajas y desventajas específicas las cuales deben ser consideradas según las necesidades del proyecto. Las dos opciones principales, en cuanto a la serialización de datos, son:

- **Serialización en Formato de Texto:** Esta forma de serialización emplea un formato legible por humanos, generalmente utilizando caracteres y símbolos. Este enfoque es especialmente útil cuando se necesita que los datos sean legibles, y editables, directamente por humanos, lo que los hace adecuados para la configuración de aplicaciones y la comunicación entre sistemas heterogéneos; o cuando se requiere tener compatibilidad entre diferentes sistemas y lenguajes de programación (Grochowski, Breiter, y Nowak, 2019).
- **Serialización Binaria:** Esta implica la representación de datos en un formato binario. Este enfoque es altamente eficiente en cuanto a espacio y velocidad, pero no es legible por humanos. Los formatos de serialización binaria, están diseñados para minimizar el tamaño de los datos serializados y optimizar el rendimiento en aplicaciones donde la velocidad y la eficiencia son críticas, sacrificando la estandarización e interoperatividad con otras implementaciones de este tipo de serialización (Grochowski y cols., 2019).

## 5 Metodología de la Investigación

Para el desarrollo del trabajo de grado, se propone un modelo de prototipado iterativo compuesto de 5 fases (Ver fig. 2). De esta manera, se avanzará a medida que se va completando la fase anterior y permitirá a futuro el poder iterar sobre lo que se ha desarrollado anteriormente.

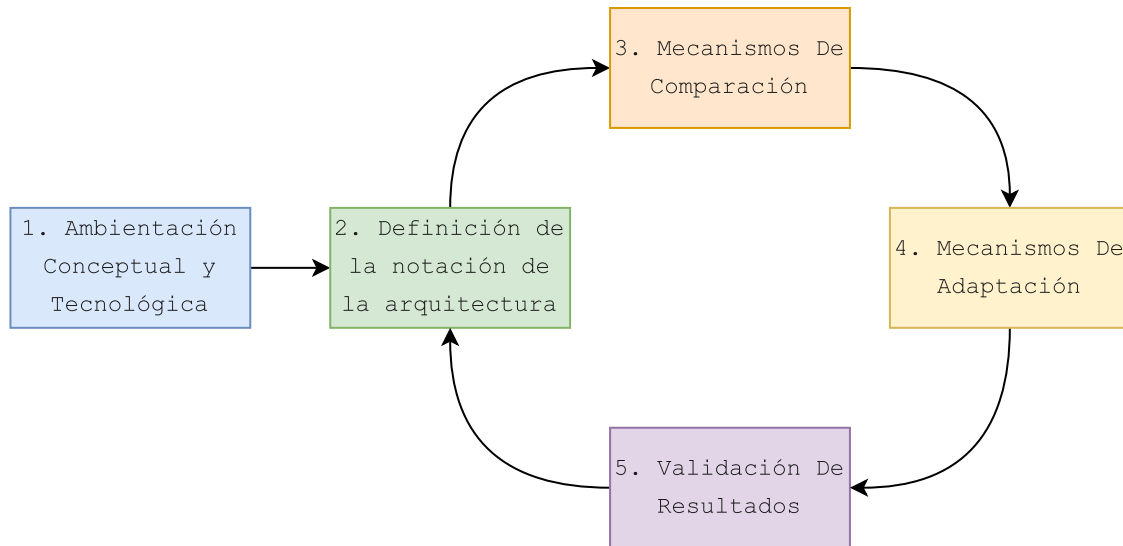


Figura 2: Metodología del proyecto

### 5.1 Ambientación Conceptual y Tecnológica

La primera fase de la metodología se basa en la investigación de la literatura, al igual que de la industria, necesaria para cubrir las bases tanto conceptuales como técnicas necesarias para el desarrollo del proyecto.

#### **Actividades**

1. Identificación de las características principales de un sistema auto-adaptable.
2. Análisis de los mecanismos de adaptación de la arquitectura.
3. Análisis los algoritmos empleados para la comparación de la comparación de las arquitecturas.
4. Determinación de los criterios de selección para el lenguaje de notación.
5. Evaluación de los posibles lenguajes de programación para la implementación a realizar.

#### **Productos**

1. Lista de criterios de selección para el lenguaje de notación.
2. Evaluación de los posibles lenguajes de programación para la implementación.

## 5.2 Definición de la notación de la arquitectura

La segunda fase está en la definición del cómo se realiza la declaración de la arquitectura. Partiendo de los criterios de selección establecidos en la fase 1, se espera determinar un lenguaje de notación el cual nos permita definir la arquitectura objetivo a alcanzar, al igual que la gramática correspondiente para poder realizar dicha declaración.

### **Actividades**

1. Selección del lenguaje de marcado a usar a partir de los criterios establecidos.
2. Definición la gramática a usar para la definición de la arquitectura.
3. Determinación como se realizará la representación de los componentes y partes de la arquitectura.
4. Implementación de una validador de la notación propuesta.

### **Productos**

1. Notación a usar para la declaración de los requerimientos de las aplicaciones.
2. Validador de los archivos de configuración de la notación definida

## 5.3 Mecanismos De Comparación

Durante la tercera fase del proyecto, se buscará poder determinar e implementar cómo se realizará la comparación entre el estado de la arquitectura obtenido durante la auto-descripción de la misma y el objetivo establecido. Así mismo, y con el fin de reportar a los administradores de los sistemas, también será necesario definir *niveles* de similitud entre las 2 arquitecturas.

### **Actividades**

1. Selección del mecanismo de comparación a usar para evaluación de estado de la arquitectura.



2. Implementación del mecanismo de comparación seleccionado.
3. Determinación de los diferentes niveles de similitud entre arquitecturas.

#### ***Productos***

1. Implementación de un mecanismos que permita establecer el estado del sistema.
2. Implementación de una comparación entre el estado de referencia y el estado actual.

### **5.4 Mecanismos De Adaptación**

La cuarta fase del proyecto está orientada a la selección, al igual que la implementación en Smart Campus UIS, del conjunto de mecanismos de adaptación de la arquitectura.

#### ***Actividades***

1. Definición el conjunto de mecanismos de adaptación.
2. Implementación el conjunto de mecanismos de adaptación seleccionados.

#### ***Productos***

- 1.

### **5.5 Validación De Resultados**

La fase final del proyecto se encargará principalmente de la realización de pruebas de los mecanismos implementados, los resultados obtenidos al igual que la documentación de todo lo que se desarrolló durante el proyecto.

#### ***Actividades***

1. Realización de las pruebas del funcionamiento de la implementación realizada con diversas arquitecturas objetivo.
2. Recopilación la documentación generada durante el desarrollo de cada una de las fases del proyecto.

3. Compilación de la documentación para generar el documento de final.
4. Correcciones y adiciones para la presentación final del proyecto de grado.

### ***Productos***

- 1.

## 6 Lenguajes de Descripción de Arquitectura

### 6.1 La necesidad de una arquitectura de referencia

La necesidad de una arquitectura de referencia, o arquitectura objetivo; es una parte esencial dentro de la computación autónoma. Esta forma parte de la base de conocimiento (K), y, de manera indirecta, de los objetivos del administrador del sistema (Lalanda y cols., 2014, p. 24).

Con el fin de fijar un objetivo para nuestro sistema autónomo, fue necesario determinar una manera de realizar la declaración de dicha arquitectura, que estableciera un estado de referencia. De esta manera, podría evaluarse el estado del sistema en tiempo de ejecución, y así tomar las acciones necesarias para adaptarlo hacia el estado de referencia.

Ahora, es necesario establecer el punto desde el cual se realizará la comparación entre los estados del sistema. Esto guiará la búsqueda para determinar el como se realizará la declaración de los estados objetivo de Smart Campus UIS, al igual que los datos que se recolectarán.

Siendo así, y dados los objetivos que buscan cumplir los ecosistemas inteligentes para la toma de decisiones (Anagnostopoulos, 2023), se estableció que la métrica por la cual se describiría, y evaluaría, el estado del sistema sería a partir de los datos que estaban siendo recolectados. Es decir, que nuestro enfoque debía estar orientado a cumplir con las necesidades de los datos establecidas por Smart Campus.

### 6.2 Criterios de selección

Con el fin de establecer la notación a usar para la declaración de las arquitecturas objetivo, se establecieron unos lineamientos con los cuales se realizaría la evaluación de las diferentes notaciones ya desarrolladas anteriormente. De esta manera se podría escoger la manera a representar los modelos, o en el caso de ser necesario, establecer los criterios por el cual se podría desarrollar uno.

Tabla 1: Criterios usados para la determinación de la notación a utilizar

	<b>Criterio</b>	<b>Explicación</b>	<b>Valor</b>
C1	Describir la arquitectura de un sistema IoT	Este criterio es una base a establecer con el fin de descartar aquellos lenguajes de notación generales o no necesariamente usados para la descripción de arquitecturas IoT.	Alto
C2	Permitir la especificación de la ubicación del componente	La especificación de la ubicación de los componentes es importante en los sistemas IoT, especialmente dentro del contexto del proyecto en el cual se está trabajando con un Smart Campus; ya que los componentes pueden estar distribuidos en diferentes ubicaciones físicas y la evaluación de su integridad puede depender de su presencia en un lugar dado.	Alto
C3	Habilitar el modelado del componente a nivel de sus entradas	Es importante poder describir las entradas de los componentes, específicamente los datos que manejan, así como su rol dentro del sistema.	Alto
C4	Modelar el comportamiento de los componentes	La notación debe permitir modelar el comportamiento de los componentes, de manera que se puedan entender sus interacciones y su función en el sistema IoT. Dentro del contexto del proyecto, no es tan relevante, ya que no se está evaluando la funcionalidad del sistema, sin embargo, para futuros trabajos, podría facilitar la extensión de Smart Campus UIS.	Bajo
C5	Posibilitar el establecer los estados de los componentes	La notación debe poder definir los estados de los componentes. Estos estados pueden ser tanto de comportamiento o operacionales.	Medio
C6	Permitir de exportar el modelo descrito a gráficas u otros formatos	Es importante que la herramienta permita exportar el modelo descrito en diferentes formatos para facilitar su integración con otras herramientas y sistemas, y para permitir su visualización en diferentes formatos.	Medio

### 6.3 Búsqueda de Alternativas

Una vez establecidos los criterios de selección, se realizó una exhaustiva búsqueda de alternativas disponibles en la literatura y en la industria para describir arquitecturas para describir la arquitectura de sistemas IoT. Esta búsqueda se realizó a partir de la revisión en

diferentes bases de datos, como *Scopus*; al igual que algunas de las revistas especializadas en el tema, y el internet en general.

Durante la búsqueda, se identificaron una gran variedad de opciones. Sin embargo, la gran mayoría de estos se filtraron, o descartaron; a partir de los criterios de selección establecidos. Esto se debe a que los LDAs usados en la tanto en la industria y academia, como AADL (Architecture Analysis and Design Language), tienen un enfoque a los campos de aviónica, equipos médicos y aeronáutica (lo que complicaría su implementación hacia sistemas de software IoT) (Carnegie Mellon University, 2022, 2017); o SysML, que son demasiado genéricos y abarcan hardware, software e incluso personas y procesos (Object Management Group, 2015).

Entonces, de las posibles opciones de notación, se seleccionaron cinco las cuales fueron evaluadas con el fin de determinar si alguna de las opciones hubiera podido ser usada, o si era necesario desarrollar nuestra propia notación. A continuación, se presentan las alternativas evaluadas:

- **MontiThings:** Basado en MontiArc, otro LDA más general; está diseñado para el modelado y prototipado de aplicaciones de IoT. Este realiza las descripciones de sus arquitecturas en un modelo componente-conector, donde los componentes están compuestos por otros componentes; y los conectores definen la manera en la que se comunican estos componentes a nivel de los datos y la dirección de estos. (Kirchhof, Rumpe, Schmalzing, y Wortmann, 2022b, 2022a)
- **Eclipse Mita:** Mita, creado por la Eclipse Foundation; es un lenguaje de programación orientado al facilitar la programación de sistemas IoT. Aunque como tal no es un LDA, está orientada a la descripción de los componentes y el comportamiento del sistema establecido, de esta manera, puede generar el código que debe correr en los dispositivos embebidos (Eclipse Foundation, 2018).

- **SysML4IoT:** Es un perfil de SysML<sup>1</sup> en la cual se usan estereotipos de UML con el fin de abstraer las diferentes partes de los sistemas de IoT. Al igual que SysML, este permite el modelado más allá de dispositivos incluso llegando a personas y procesos, con la diferencia del enfoque dado al *dominio de IoT*<sup>2</sup> (Costa, Pires, y Delicato, 2016).
- **ThingML:** Similar a Mita, ThingML, es un lenguaje de modelado el cual tiene capacidades de generar el código requerido por los dispositivos embebidos. En términos del proyecto, este permite el modelado de los sistemas de IoT a partir de *state machine models*<sup>3</sup> los cuales permiten describir los componentes del sistema al igual que el comportamiento de estos (Harrand, Fleurey, Morin, y Husa, 2016).
- **IoT-DDL:** Iot-DDL es un LDA, implementado en XML, que describe objetos dentro de los ecosistemas IoT con base en sus componentes, identidad y servicios entre otros. Este tiene la capacidad de describir parte de la base de conocimiento que tienen los diferentes componentes (Principalmente relaciones y asociaciones entre componentes) (Khaled, Helal, Lindquist, y Lee, 2018).

Una vez seleccionadas las alternativas a evaluar, se utilizó la matriz de evaluación en la tabla 2 para determinar la solución ideal para el desarrollo del proyecto.

---

<sup>1</sup>Los perfiles se refieren a extensiones a UML, en este caso es una extensión de SysML en sí (Andre, 2007).

<sup>2</sup>El *dominio del IoT*, hace referencia al *Architecture Reference Model* establecido por IoT-A, un consorcio Europeo el cual buscaba el establecer un modelo para la interoperatividad de dispositivos IoT. (IoT-A, 2014)

<sup>3</sup>Los *state machine model*, también conocidas como Autómatas Finitos; son modelos matemáticos que describen todos los posibles estados de un sistema a partir de unas entradas dadas (Mozilla Foundation, 2023b).

Tabla 2: Evaluación de las alternativas en función de los criterios establecidos

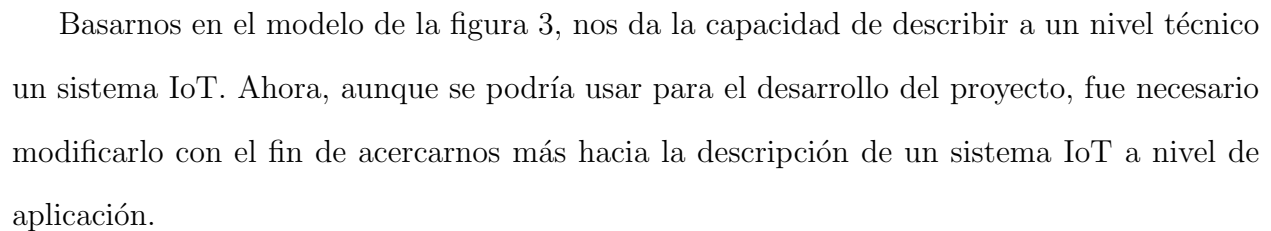
	MontiThings	Eclipse Mita	SysML4IoT	ThingML	IoT-DDL
C1	✓	✓	✓	✓	✓
C2	✗	✗	✗	✗	✗
C3	✓	✓	✓	✓	✓
C4	✓	✓	✓	✓	✗
C5	✓	✓	✗	✓	✗
C6	✗	✗	✗	✓	✗

Partiendo de los resultados de la evaluación, se puede apreciar que ninguno de estos LDA cumple con los criterios establecidos para el proyecto. Aunque estos están orientados hacia la descripción y desarrollo de sistemas IoT, no están enfocados hacia su contexto en términos de aplicación más allá de la definición de comportamiento. Esto se debe a los objetivos de cada una de estas notaciones, de una u otra manera; buscan el representar como tal el sistema IoT en términos de su funcionalidad técnica y no la aplicación en si.

#### 6.4 Un nuevo modelo para Smart Campus

Dado que no hay una alternativa que se adapte completamente a las necesidades del proyecto, se tuvo que definir nuestra propia notación la cual permita modelar las arquitecturas a nivel de aplicación bajo el contexto de un Smart Campus, tomando en cuenta los criterios definidos como guía para el desarrollo.

Primeramente, fue necesario que definir un metamodelo el cual permita establecer la manera en la que se verán estas arquitecturas. Para ello, y partiendo de la implementación a realizar, nos basamos parcialmente en el modelo establecido por H. A. Jiménez Herrera (2022, p. 63).



Así mismo, se cubre el criterio *C3* cambiando las propiedades del dispositivos de una clase, externa a los dispositivos; a un atributo, interno, el cual le permite a los componentes manejar su propia información en cuanto a los datos que estos manejan. Estas propiedades puede referirse a las entradas que tienen, en el caso de ser actuadores o procesadores de la información; o a los valores que reportan al sistema en el caso de ser sensores.



Ahora, algo importante a tener en cuenta, es la manera en la que se están reportando los datos desde los sensores hacia Smart Campus UIS. Esto se debe a la necesidad de tener en cuenta los datos a los cuales tenemos realmente acceso desde cada uno de los dispositivos.

Cada uno de los dispositivos de Smart Campus, reporta un ‘JSON’ el cual contiene la siguiente información.

Figura 4: Mensaje JSON enviado por los dispositivos en Smart Campus UIS

(H. A. Jiménez Herrera, 2023)

```
{
  "deviceUUID": "1",
  "topic": "temperatura",
  "timeStamp": "06-01-2024 10:39:02",
  "values": {
    "temperature": 10.0,
    "co2": 15.0,
    "location": "AP2"
  },
  "status": "OK",
  "alert": false
}
```

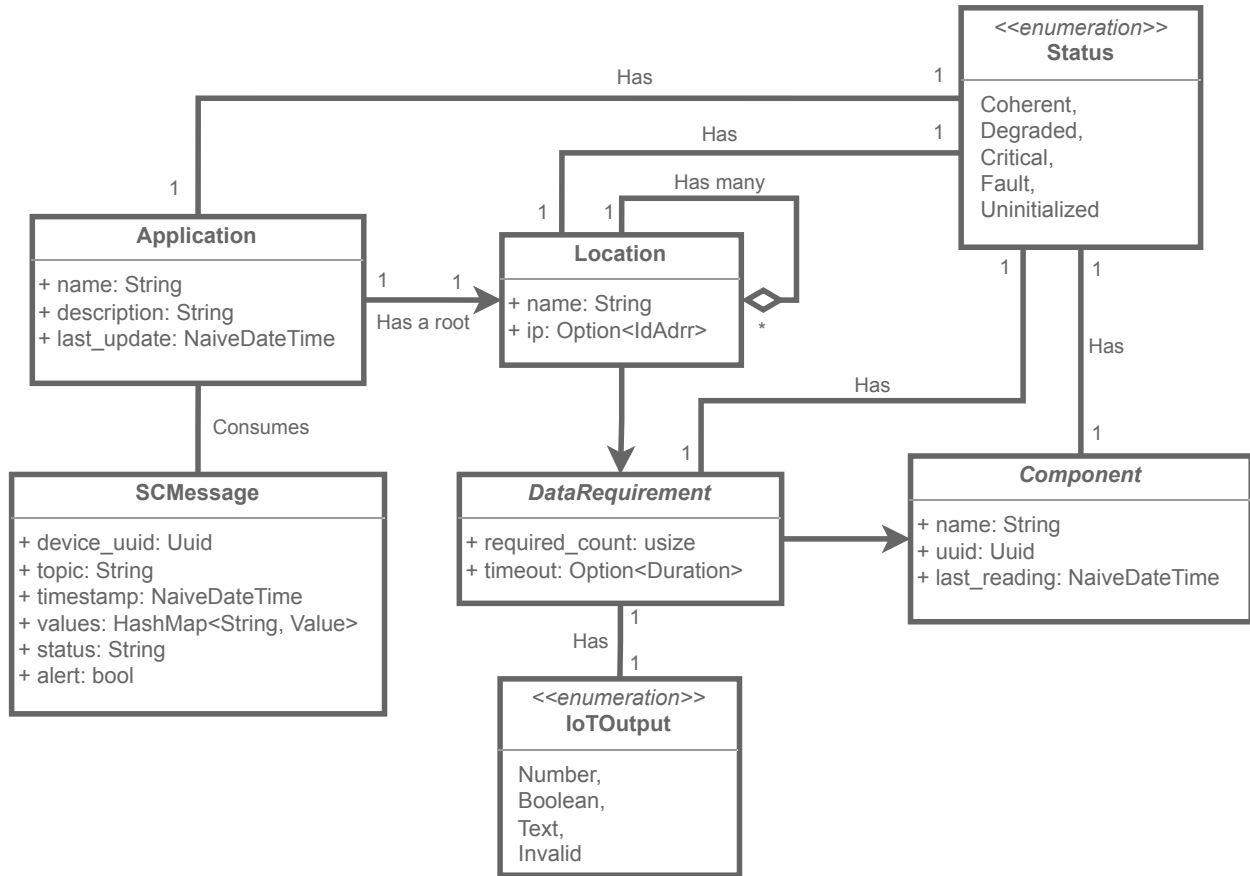
Es importante destacar que contamos con suficiente información para identificar los dispositivos, así como los datos que estos reportan. Sin embargo, falta información crucial para el mapeo físico de los dispositivos. Por lo tanto, será necesario proporcionar manualmente estos datos durante la etapa de adaptación para llevar a cabo los ajustes necesarios en la arquitectura.

La base del modelo, presente en la figura 5, es la aplicación (*Application*). Esta contiene, a partir de una ubicación raíz, todas las demás locaciones (*location*) pertinentes para el correcto funcionamiento de esta.

Las locaciones, tienen una serie de requerimientos de datos (*DataRequirements*), las cuales son las representaciones lógicas, o de software, de las necesidades de la aplicación.

Cada uno de estos requerimientos de datos, contiene la cantidad de dispositivos, y a su vez datos, requeridos por la locación, al igual que el tipo de datos esperado (*IoTOutput*), y el que el tiempo máximo permitido entre reportes de datos.

Figura 5: Versión 1 del metamodelo planteado para SCampusADL



Los requerimientos de datos, llevan un registro de los componentes (*Component*) que han reportado datos en la locación. Esto nos permite evaluar cada uno de estos, y en la misma medida, determinar el estado (*Status*) de cada una de las locaciones registradas en la aplicación.

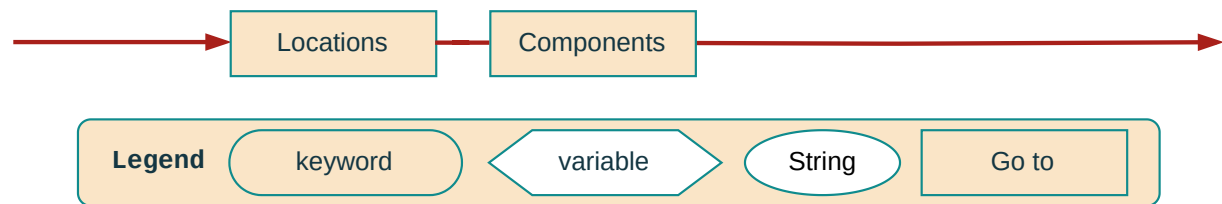
Ahora, las aplicaciones, en cierta medida, con el fin de llevar el registro de los datos enviados, consumen el mensaje JSON visto en la figura 4. Este ha sido deserializado y mapeado en *SCMessage*. De esta manera, se podrá trabajar de manera sencilla en el procesamiento y actualización del estado de las aplicaciones.

## 6.5 Sintaxis de la notación

Partiendo de esto, lo siguiente que se realizó fue la definición de la sintaxis de la notación a usar, basados en lo definido por el metamodelo. Para esto, se decidió a usar **YAML**, un lenguaje de serialización de datos orientado a la legibilidad, reconocido y usado principalmente para la creación de archivos de configuración (Red Hat Foundation, 2023).

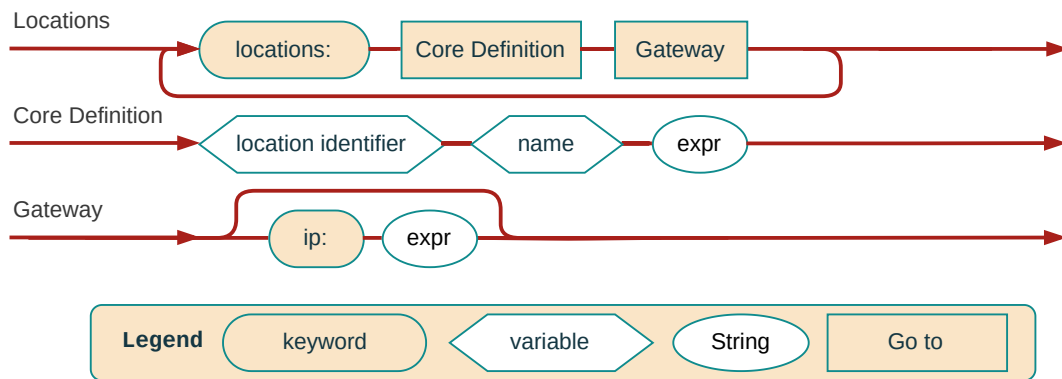
La sintaxis, como puede observarse en la figura 6, se compone de 2 partes: **locaciones**, para establecer el contexto geográfico de la aplicación; y **componentes**, con el cual se definen las partes de la aplicación al igual que las propiedades y lugar en el cual deben estar para el funcionamiento de la aplicación.

Figura 6: Diagrama de rail de la sintaxis definida para la notación de SmartCampusADL



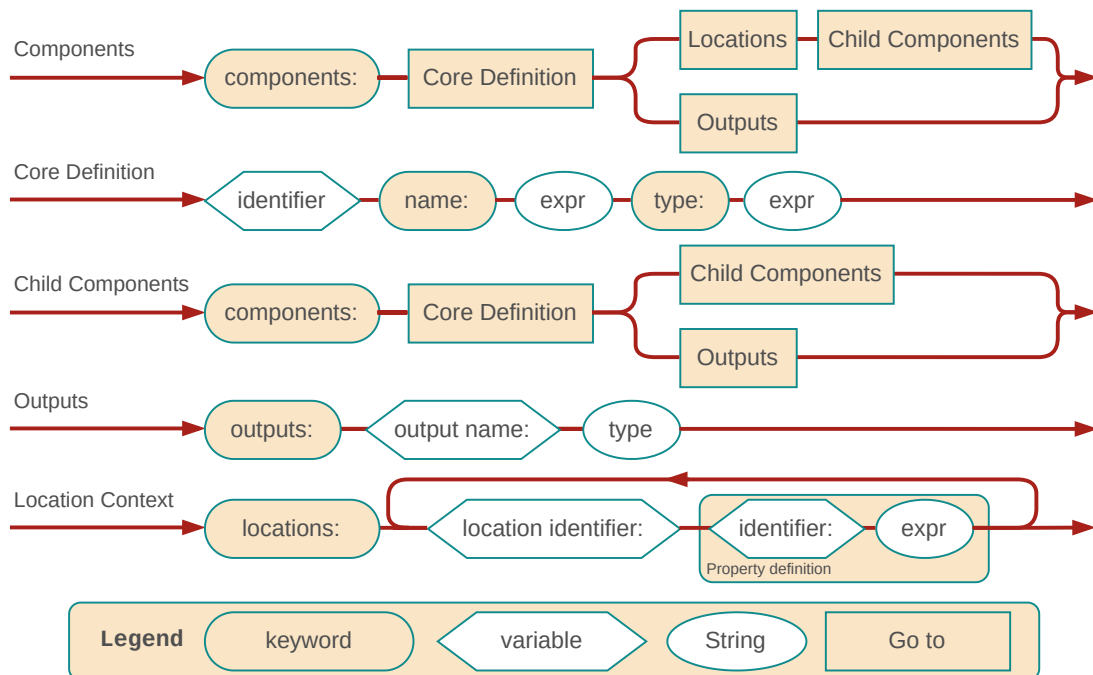
Para especificar las **locaciones** dentro del contexto de la aplicación, se definió la sintaxis que puede observarse en la figura 7. De esta manera, tras especificar la *keyword* **locations**, se pueden los puntos geográficos necesarios, al igual que las locaciones que lo componen. Así mismo, es posible declarar de manera implícita la ip de la *gateway* que se encuentra en el lugar con el fin de poder establecer el origen de los datos recolectados.

Figura 7: Diagrama de rail de la sintaxis definida para la notación del contexto geográfico de la aplicación



Un enfoque similar se aplicó a los componentes. En la figura 8 se presenta la sintaxis a usar para poder definir y ubicar los componentes dentro de la aplicación. De esta forma, se pueden declarar los componentes, al igual que sus propiedades; y algunas de las características que estos deben cumplir para poder ser evaluados dentro del contexto de la aplicación.

Figura 8: Diagrama de rail de la sintaxis definida para la notación de los componentes de la aplicación



Al definir esta notación, hemos creado un marco sólido para representar las aplicaciones

de Smart Campus UIS. Este enfoque bien definido nos permitirá avanzar en el desarrollo de nuestras funcionalidades de comparación de los modelos, y la implementación de los mecanismos de adaptación a usar. Un ejemplo de como se vería un archivo de notación válido para nuestras necesidades puede encontrarse en el anexo A.1.

## 6.6 Implementando Una Validación

Teniendo definida la notación a usar para la declaración de las arquitecturas objetivo, lo siguiente a realizar era un módulo el cual se encargara de la validación, y construcción, los modelos a usar como referencia. La implementación, se dividió en dos partes. Una librería, la cual contiene toda la definición de los objetos definidos en el metamodelo, y será utilizada para la construcción de los modelos en todo el proyecto. La otra parte es un módulo de validación, que se encargará de verificar que los modelos definidos en la notación sean válidos de acuerdo con las reglas establecidas en el metamodelo.

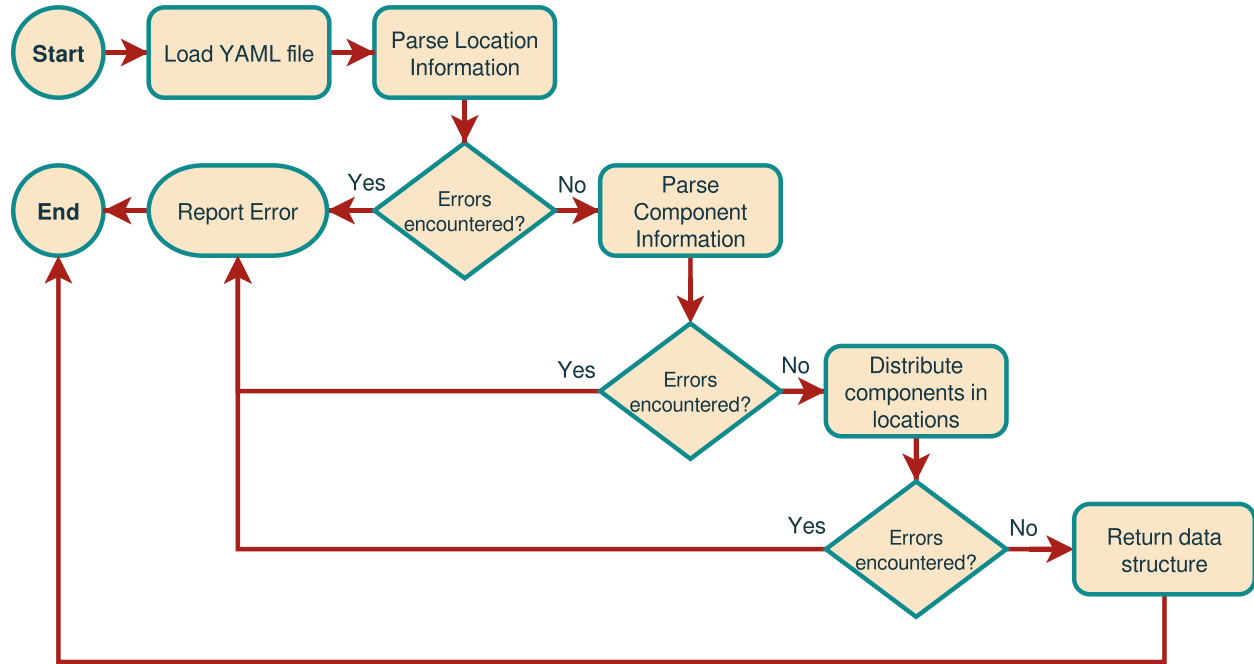
La librería, apodada *StarDuck*, incluye clases para representar los componentes, dispositivos, gateways, locaciones y el contexto de la aplicación. Cada clase tiene atributos y métodos que permiten establecer y acceder a sus propiedades de acuerdo con el metamodelo. Por ejemplo, la clase `Component` tiene atributos como `name` (nombre del componente), `component_type` (tipo de componente), `components` (componentes internos), `properties` (propiedades del componente), y `outputs` (salidas del componente).

El módulo de validación, apodado *Lexical*, se encarga de verificar que los modelos definidos en la notación sigan las reglas establecidas en el metamodelo. Esto incluye verificar que se definan las locaciones y componentes de acuerdo con la estructura del metamodelo, que las propiedades de los componentes sean válidas.

Para implementar la validación, se *parsea* el archivo YAML y se construye una estructura de objetos de acuerdo con las clases definidas en la librería. Durante esta construcción, se aplican las reglas de validación. Si se encuentra algún error, se genera un mensaje de error indicando la ubicación del problema en el archivo de notación. En la figura 9 se puede

observar un diagrama de flujo simplificado de este proceso.

Figura 9: Diagrama de flujo del proceso realizado por el módulo *Lexical*



El desarrollo de estos módulos, se realizó en Rust. Escogido debido a su capacidad para garantizar la integridad de los datos y prevenir errores comunes, lo que es esencial en un entorno donde la precisión y la confiabilidad son críticas. Además, su ecosistema de herramientas y bibliotecas facilita la implementación eficiente de los módulos de validación y construcción de modelos.<sup>4</sup>

Con la implementación de este módulo de validación, hemos completado la primera fase del desarrollo de nuestra notación y herramienta para describir y validar arquitecturas de aplicaciones de Smart Campus. Ahora podemos avanzar en la implementación de las funcionalidades de comparación y adaptación de modelos, que son parte fundamental de nuestro enfoque de computación autónoma.

<sup>4</sup>Todo el código realizado para el proyecto puede encontrarse en el grupo de GitHub: <https://github.com/ChipDepot/>

## 7 Estado Actual Frente al de Referencia

### 7.1 Conociendo el estado actual

Con la notación de las arquitecturas objetivo establecidas, al igual que el desarrollo del módulo encargado de la construcción y validación de los archivos de configuración; lo siguiente era la definición del proceso de la comparación entre la arquitectura actual y la arquitectura de referencia. Este proceso, nos permitirá evaluar el estado del sistema y, por consiguiente, establecer las acciones a tomar con el fin de adaptar la arquitectura hacia el estado objetivo establecido.

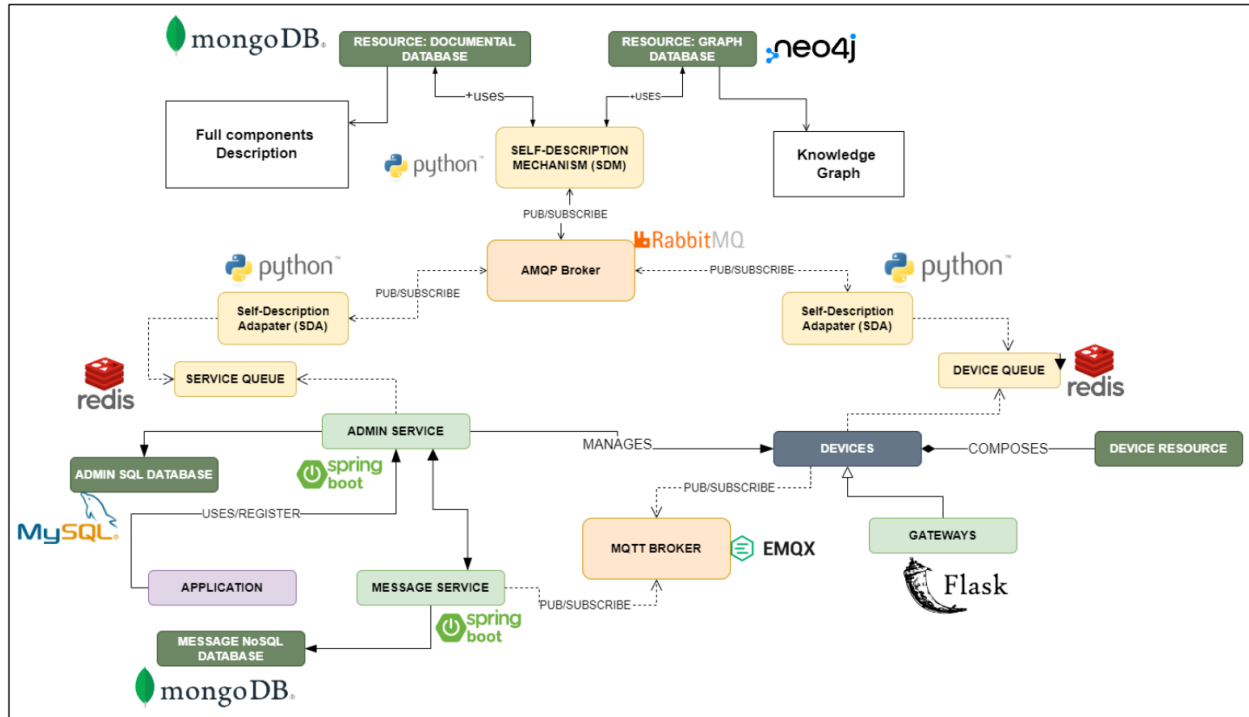
Esto requiere conocer el estado actual del sistema, al igual que el conocer el estado objetivo. Siendo así, y ya teniendo la posibilidad de declarar las necesidades de la aplicación, lo siguiente es establecer una manera de determinar el estado del sistema. Dado el enfoque hacia los datos recolectados, es necesario el precisar la manera en la que conoceríamos en qué estado se encuentra el sistema.

Partiendo de esto, lo primero era el identificar los puntos de acceso por los cuales podríamos acceder a los datos, en el caso de Smart Campus UIS, como se observa en la figura 10, hay dos maneras en las que podemos acceder a los datos. La primera, es haciendo consultas a la base de datos en la cual se guardan los registros; la segunda, implica recibir los mensajes que viajan por el bus de datos, sea el de los adaptadores de descripción o el de los dispositivos con el servicio de mensajería , y procesar cada uno de los mensajes.

Ahora, cada una de las maneras de acceder a los datos es viable, y podría permitir la implementación correspondiente para determinar el estado del sistema. Sin embargo, de entre las tres opciones, se escogió el procesamiento de los mensajes enviados por los dispositivos, enviados por MQTT. Esta decisión se debe a algunas de las ventajas que posee el protocolo sobre la consulta a base de datos. Entre estas destacan la menor latencia en la recuperación y la direccionalidad de datos, comparado con las consultas.

La primera se refiere a la menor cantidad de saltos de servicios antes de que los datos

Figura 10: Arquitectura del prototipo de Smart Campus definido por  
H. A. Jiménez Herrera (2022)



sean guardados en la base de datos, lo que aumenta el tiempo en el que estos estarán disponibles, sumado a el tiempo ejecución de la consulta. Así mismo, la última refiriéndose a que el protocolo MQTT, gracias a su modelo pub/sub, permite el poder procesar los datos a medida que estos van llegando, y no en intervalos discretos de tiempo, lo cual podría afectar la toma de decisiones.

Partiendo de lo anterior, se reconoció la necesidad de tener un servicio dedicado a la tarea de procesar los mensajes que están siendo enviados por, y a, cada uno de los dispositivos registrados en Smart Campus UIS.

## 7.2 Implementado un Event-Handler

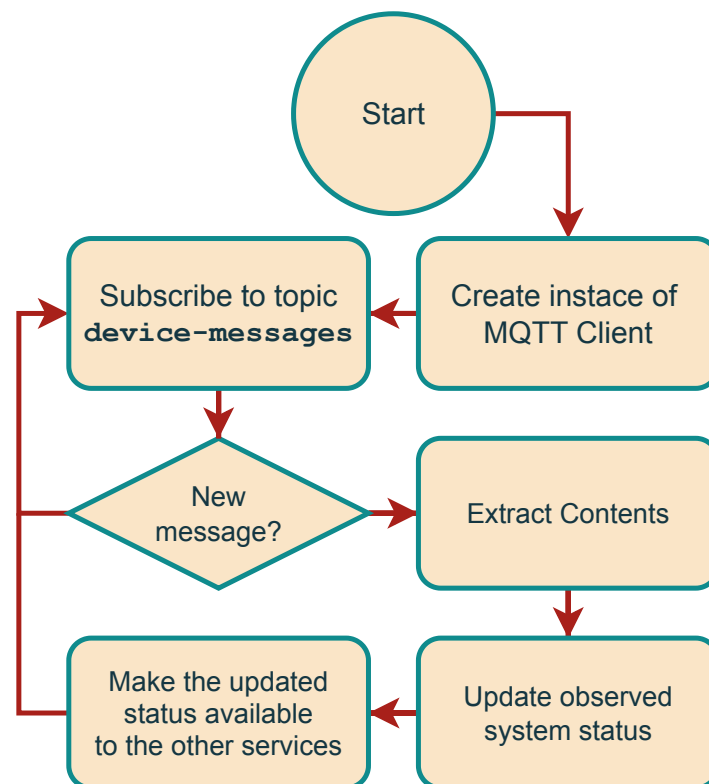
En el contexto de Smart Campus UIS, podemos ver cada uno de los mensajes que se envían los adaptadores de auto-descripción como un evento. Es decir, cada uno de los mensajes que es enviado por los dispositivos pertenecientes a una aplicación de Smart Campus



UIS, es algo que debe ser procesado con un algún fin. Este procesamiento, recuerda al patrón de diseño **Observer** en el cual se busca el realizar una acción cada vez que el estado, de lo que se está observando, cambia.

Siendo así, se estableció el realizar la implementación de un observador el cual se hará responsable de la captura de los mensajes enviados por los dispositivos y establecer el estado del sistema. De esto, como se puede ver en la figura 11 se propuso un proceso que debía realizar el observador a implementar.

Figura 11: Primera propuesta del proceso a realizar por el observador a implementar



Este primer acercamiento, es bastante directo en cuanto a la implementación a realizar. Esta se basa en la inicialización de un cliente de MQTT, suscrito al tópico usado por los dispositivos conectados a Smart Campus (H. A. Jiménez Herrera, 2023), y procesar cada uno de los mensajes a medida que estos van llegando.

En este primer prototipo de nuestro observador, existen algunas limitaciones a resolver.

El primero de estas que no le da acceso al observador, de aquí en adelante referido como *Looker*, acceder al contexto geográfico, requerido para evaluar el estado de cada una de las locaciones de la aplicación.

Esto se solucionó realizando una petición de la descripción del campus, requerido para la declaración del estado objetivo, a un endpoint que tenga estos datos. Para su implementación fue necesario realizar una modificación a Lexical para que este, tras validar la arquitectura objetivo, envíe el resultado serializado a un servicio encargado de almacenar las arquitecturas objetivo.

De la misma manera, quedaba pendiente el definir el como los demás servicios podrán acceder a los datos que están siendo procesados. Es decir, si vamos a usar un bus de datos para publicar el estado del sistema al resto de nuestros servicios, o permitir el acceso con peticiones HTTP a través de un endpoint.

La implementación de esto depende del como se desee realizar el manejo de los cambios en la arquitectura de Smart Campus UIS. Si se desea responder de manera inmediata a cambios en la arquitectura, se tendría que usar un bus de datos, como MQTT o AMQP; pero tendría la consecuencia de un aumento en el uso de los recursos debido a que se tendrían que procesar todos los cambios cada vez que se determine el estado de la aplicación.

En el caso contrario, podría implementarse un endpoint HTTP el cual sea consultado en intervalos de tiempo por el servicio encargado de comparar los estados objetivo y de referencia. Esto permitiría tener un mayor control de cada cuanto se realizan las comparaciones, y más importante, cada cuanto se realizan acciones sobre la arquitectura actual con el fin de modificarla hacia el estado de referencia.

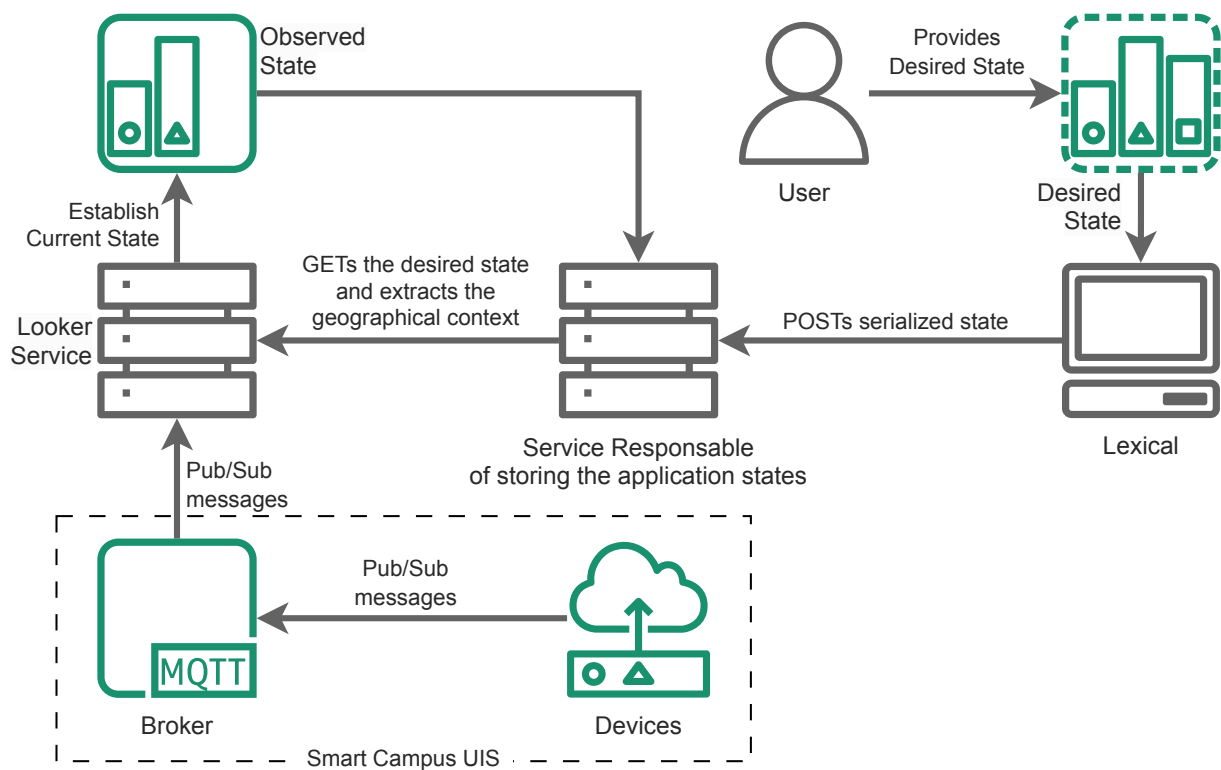
Siendo así, y debido a querer manejar más el control desde el servicio encargado de los cambios en la arquitectura, que se escogió la opción de emplear un endpoint. De esta manera, se podrá regular cada cuanto se realizan acciones sobre Smart Campus UIS, lo que debería resultar en un comportamiento más predecible.

Finalmente, este primer prototipo, no establece el como se realizará la evaluación del

estado del sistema. De no tener una métrica la cual evaluar, no se habrá manera de detectar las diferentes alteraciones al estado actual del sistema.

Para esto, del contexto proveído, se tomaron las propiedades con el fin de establecer el estado de un componente. Ahora, a pesar de considerar otros parámetros y puntos de medida para nuestro servicio, debido a la gran cantidad de necesidades que pudiera presentar un usuario final, como lo pueden ser el mantener datos en un rango o la distribución entre estos; se decidió, para efectos de esta implementación inicial, sólo tomar como parámetros básicos el tiempo entre mensajes de los dispositivos y la cantidad de estos en una locación. La nueva estructura del proyecto, hasta el momento, puede observarse en la figura 12.

Figura 12: Arquitectura actual del proyecto



### 7.3 Comparando Arquitecturas

Ahora que se conoce el estado actual del sistema, al igual que estado de referencia; lo siguiente a realizar era la comparación de las arquitecturas. El resultado de esta, nos daría

la base para poder decidir el qué hacer para adaptar el sistema y el cómo hacerlo.

En la figura 12, uno de los servicios intermedios estaba encargado de manejar la base de conocimiento. Este contiene las versiones actualizadas de la arquitectura de referencia, enviada a este desde el cliente de Lexical usado por el usuario; y el estado actual, que Looker está constantemente actualizando, y puede ser consultado por este servicio cada que se requiera. Siendo así, este servicio será el encargado de realizar las comparaciones entre los dos estados.

Ya teniendo definido dónde se realizarán las comparaciones, lo siguiente es definir el como se realizarán estas. Para nuestras necesidades, esto no es tan directo como hacer una comparación usando un igual ( $A == B$ ) ya que el realizar esto, no nos daría realmente información sobre, qué, internamente, presenta problemas.

Para poder extraer esta información, siendo esta el estado de los componentes específicos que necesitan atendidos, se estableció el uso de métricas definidas con anterioridad. En este caso, las métricas elegidas son el tiempo entre mensajes de los dispositivos y la cantidad de estos en una locación.

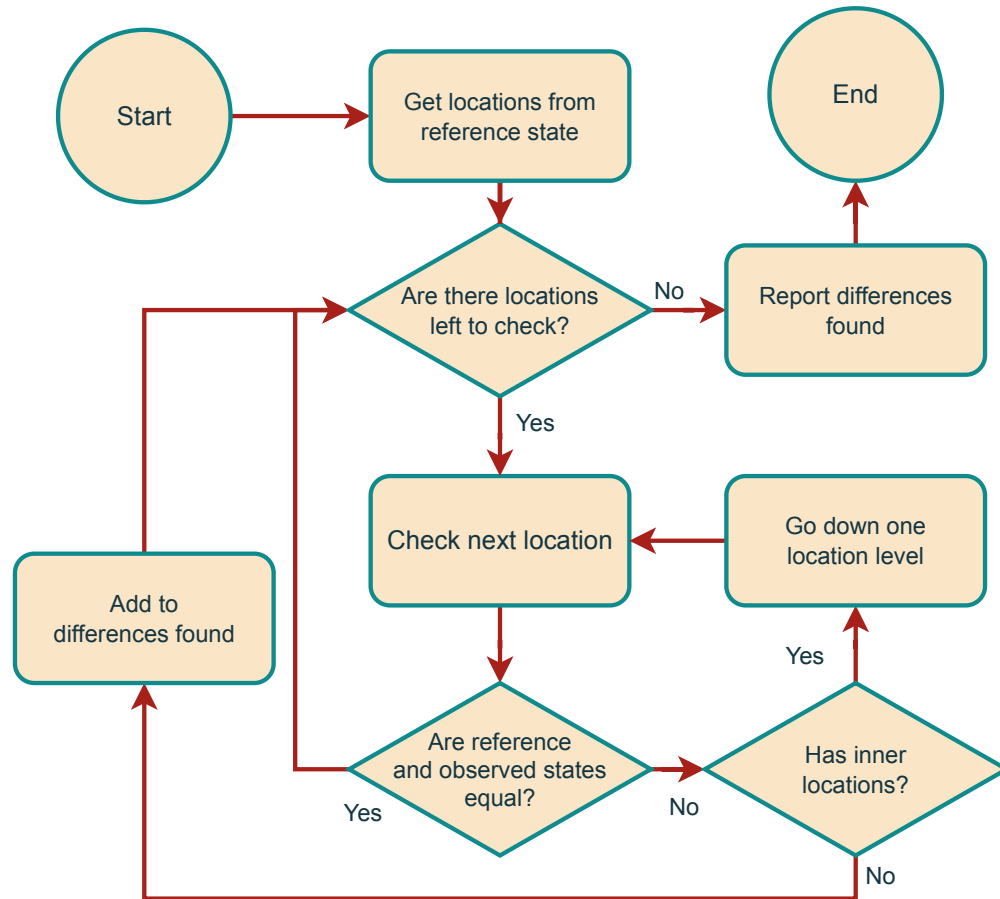
El proceso de comparación consta de evaluar cada componente del sistema en función de estas métricas. Se comparan las versiones objetivo y actual para determinar si hay discrepancias significativas que requieran ajustes. Si, por ejemplo, el tiempo entre mensajes de un dispositivo en una ubicación difiere de la versión objetivo, se considera que hay una desviación. Lo mismo ocurre si la cantidad de dispositivos en una locación no coincide con la definición de la arquitectura objetivo.

Lo siguiente a realizar fue definir el proceso de comparación entre los dos estados del sistema. Se optó por abordar esta comparación locación por locación, permitiendo así una evaluación detallada de cada área y extrayendo una estructura que resaltara los puntos problemáticos de la aplicación y las diferencias presentes en cada uno de los lugares.

Siendo así, primeramente se definió el flujo en el cual se realizará el recorrido de las locaciones. Se parte desde las locaciones raíces, o de primer nivel, y pasando por cada una

de las locaciones hijas revisando el estado de cada una de estas. En la figura 13 se presenta el diagrama de flujo de la forma en la que se realizará el recorrido de las locaciones.

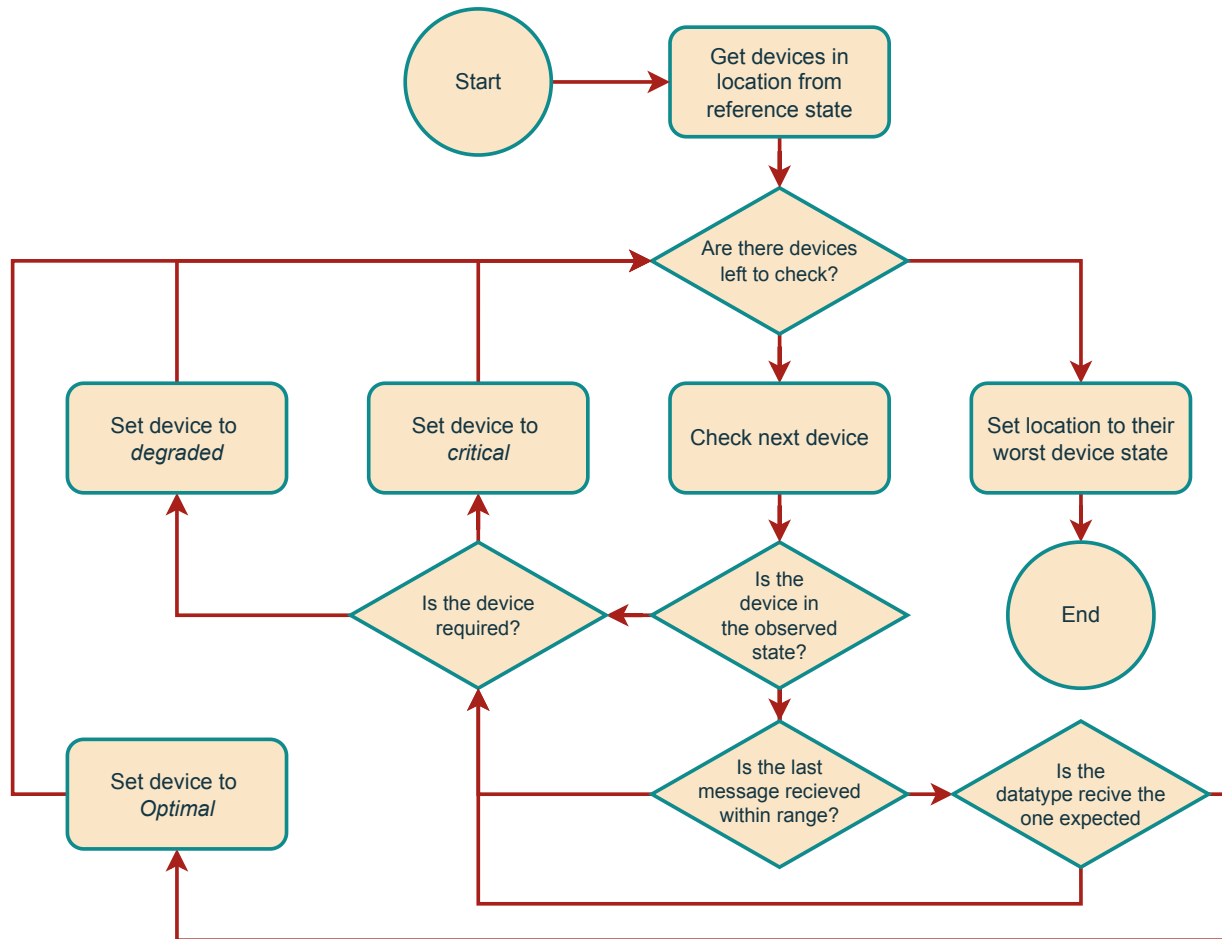
Figura 13: Diagrama de flujo del recorrido de las locaciones



En cada una de las locaciones que se visita, se compara el estado de cada uno de los componentes definidos en la arquitectura de referencia. Esta comparación se basa en revisar tres cosas. Primero, si el componente está presente en la locación; segundo, como fue definido en la sección anterior, si se han estado mandando mensajes dentro del tiempo establecido; y, finalmente, si se está recibiendo el tipo de dato esperado.

Estos puntos de comparación nos permiten establecer si el componente está presente y activo en la locación; al igual que el tipo de— dato registrados sean coherentes con las necesidades de la aplicación. El diagrama de flujo del proceso defino se puede observar en la figura 14.

Figura 14: Diagrama de flujo del proceso de comparación de los componentes



A partir de la información recolectada durante la comparación entre los dos estados, como se puede ver en la figura 13, se genera un reporte el cual contiene las locaciones y los dispositivos que presenten problemas. A partir de este, se establecerán las medidas a tomar con el fin de adaptar el sistema hacia un estado óptimo.

## Referencias

- Allied Market Research. (2023). *Location based services market*. Online. Descargado de <https://www.alliedmarketresearch.com/location-based-services-market>
- Anagnostopoulos, T. (2023). Smart campus. En *Iot-enabled unobtrusive surveillance systems for smart campus safety* (p. 17-25). doi: 10.1002/9781119903932.ch3
- Andre, C. (2007). *Uml extensions: the sysml profile*. Descargado 2023-05-19, de [https://www.i3s.unice.fr/~map/Cours/MASTER\\_TSM/Cours7\\_SysML.pdf](https://www.i3s.unice.fr/~map/Cours/MASTER_TSM/Cours7_SysML.pdf) (Presentation on UML extensions)
- Arcaini, P., Riccobene, E., y Scandurra, P. (2015). Modeling and analyzing mape-k feedback loops for self-adaptation. En *2015 ieee/acm 10th international symposium on software engineering for adaptive and self-managing systems* (p. 13-23). doi: 10.1109/SEAMS.2015.10
- Ashraf, Q. M., Tahir, M., Habaebi, M. H., y Isoaho, J. (2023). Toward autonomic internet of things: Recent advances, evaluation criteria, and future research directions. *IEEE Internet of Things Journal*, 10(16), 14725-14748. doi: 10.1109/JIOT.2023.3285359
- Bansal, A. K. (2013). *Introduction to programming languages*. Boca Raton, FL: CRC Press.
- Berte, D.-R. (2018, 05). Defining the iot. *Proceedings of the International Conference on Business Excellence*, 12, 118-128. doi: 10.2478/picbe-2018-0013
- Carnegie Mellon University. (2017). *Aadl and osate: A tool kit to support model-based engineering*. Online. Carnegie Mellon University. Descargado de [https://resources.sei.cmu.edu/asset\\_files/FactSheet/2017\\_010\\_001\\_506838.pdf](https://resources.sei.cmu.edu/asset_files/FactSheet/2017_010_001_506838.pdf)
- Carnegie Mellon University. (2022). *Architecture analysis and design language*. Carnegie Mellon University. Descargado de [https://www.sei.cmu.edu/our-work/projects/display.cfm?customel\\_datapageid\\_4050=191439%2C191439](https://www.sei.cmu.edu/our-work/projects/display.cfm?customel_datapageid_4050=191439%2C191439)
- Celikovic, M., Dimitrieski, V., Aleksic, S., Ristić, S., y Luković, I. (2014). A dsl for eer data model specification. En *Integrated spatial databases*.

- Costa, B., Pires, P. F., y Delicato, F. C. (2016). Modeling iot applications with sysml4iot. En *2016 42th euromicro conference on software engineering and advanced applications (seaa)* (p. 157-164). doi: 10.1109/SEAA.2016.19
- Dawood, A. (2020, 09). Internet of things (iot) and its applications: A survey. *International Journal of Computer Applications*, 175, 975-8887. doi: 10.5120/ijca2020919916
- Deichmann, J., Doll, G., Klein, B., Mühlreiter, B., y Stein, J. P. (2022, Mar). *Cracking the complexity code in embedded systems development*. McKinsey's Advanced Electronics Practice.
- Durán-Polanco, L., y Siller, M. (2023). A taxonomy for decision making in iot systems. *Internet of Things*, 24, 100904. Descargado de <https://www.sciencedirect.com/science/article/pii/S2542660523002275> doi: <https://doi.org/10.1016/j.iot.2023.100904>
- Eclipse Foundation. (2018). *Eclipse mita*. Eclipse Foundation. Descargado 2023-05-13, de <https://www.eclipse.org/mita/>
- Friedman, D. P., y Wand, M. (2008). *Essentials of programming languages, 3rd edition* (3.<sup>a</sup> ed.). The MIT Press.
- Gartner, G., y Huang, H. (Eds.). (2015). *Progress in location-based services 2014*. Springer International Publishing. Descargado de <https://doi.org/10.1007/978-3-319-11879-6> doi: 10.1007/978-3-319-11879-6
- Gorla, A., Pezzè, M., Wuttke, J., Mariani, L., y Pastore, F. (2010, 01). Achieving cost-effective software reliability through self-healing. *Computing and Informatics*, 29, 93-115.
- Grochowski, K., Breiter, M., y Nowak, R. (2019, 08). Serialization in object-oriented programming languages.. doi: 10.5772/intechopen.86917
- Harrand, N., Fleurey, F., Morin, B., y Husa, K. (2016, 10). Thingml: a language and code generation framework for heterogeneous targets. En (p. 125-135). doi: 10.1145/2976767.2976812



- Heath, S. (2002). *Embedded systems design*. Elsevier.
- Horn, P. (2001, Oct). *autonomic computing: Ibm's perspective on the state of information technology*. IBM. Descargado de [https://homeostasis.scs.carleton.ca/~soma/biosec/readings/autonomic\\_computing.pdf](https://homeostasis.scs.carleton.ca/~soma/biosec/readings/autonomic_computing.pdf)
- Huynh, N.-T. (2019). An analysis view of component-based software architecture reconfiguration. En *2019 ieee-rivf international conference on computing and communication technologies (rivf)* (p. 1-6). doi: 10.1109/RIVF.2019.8713678
- Iancu, B., y Gatea, A. (2022). Towards a self-describing gateway-based iot solution. En *2022 ieee international conference on automation, quality and testing, robotics (aqtr)* (p. 1-5). doi: 10.1109/AQTR55203.2022.9801938
- IoT-A. (2014). *Internet of things architecture*. Online. Descargado 2023-05-20, de <https://www.iot-a.eu/public/>
- Jiménez Herrera, H., Cárcamo, E., y Pedraza, G. (2020). Extensible software platform for smart campus based on microservices. *RISTI - Revista Iberica de Sistemas e Tecnologias de Informacao*, 2020(E38), 270-282. Descargado de [www.scopus.com](http://www.scopus.com)
- Jiménez Herrera, H. A. (2022). *Mecanismos autónomos para la autodescripción de arquitecturas iot distribuidas*. Descargado de <https://noesis.uis.edu.co/items/c5d1cce7-3f8f-4e3e-a083-66bd3c4745f3>
- Jiménez Herrera, H. A. (2023). *Smart campus uis production*. Online. GitHub. Descargado de [https://github.com/UIS-IoT-Smart-Campus/smart\\_campus\\_production](https://github.com/UIS-IoT-Smart-Campus/smart_campus_production)
- Kabashkin, I. (2017). Dynamic reconfiguration of architecture in the communication network of air traffic management system. En *2017 ieee international conference on computer and information technology (cit)* (p. 345-350). doi: 10.1109/CIT.2017.13
- Kelly, S., y Tolvanen, J.-P. (2008). *Domain-specific modeling*. Hoboken, NJ: Wiley-Blackwell.
- Khaled, A. E., Helal, A., Lindquist, W., y Lee, C. (2018). Iot-ddl—device description language for the “t” in iot. *IEEE Access*, 6, 24048-24063. doi: 10.1109/ACCESS.2018.2825295
- Kirchhof, J. C., Rumpe, B., Schmalzing, D., y Wortmann, A. (2022a). *Montithings*. Online.

- Descargado 2023-05-13, de <https://github.com/MontiCore/montithings>
- Kirchhof, J. C., Rumpe, B., Schmalzing, D., y Wortmann, A. (2022b). Montithings: Model-driven development and deployment of reliable iot applications. *Journal of Systems and Software*, 183, 111087. Descargado de <https://www.sciencedirect.com/science/article/pii/S0164121221001849> doi: <https://doi.org/10.1016/j.jss.2021.111087>
- Krikava, F. (2013, 11). *Domain-specific modeling language for self-adaptive software system architectures*.
- Lalanda, P., Diaconescu, A., y McCann, J. A. (2014). *Autonomic computing: Principles, design and implementation*. Springer.
- Liu, H., Parashar, M., y Hariri, S. (2004). A component-based programming model for autonomic applications. En *International conference on autonomic computing, 2004. proceedings*. (p. 10-17). doi: 10.1109/ICAC.2004.1301341
- Merriam, Webster. (2023a). *Notation*. Descargado de <https://www.merriam-webster.com/dictionary/notation>
- Merriam, Webster. (2023b). *Syntax*. Descargado de <https://www.merriam-webster.com/dictionary/notation>
- Min-Allah, N., y Alrashed, S. (2020, agosto). Smart campus—a sketch. *Sustainable Cities and Society*, 59, 102231. Descargado de <https://doi.org/10.1016/j.scs.2020.102231> doi: 10.1016/j.scs.2020.102231
- Mozilla Foundation. (2023a). *Serialization*. <https://developer.mozilla.org/en-US/docs/Glossary/Serialization>.
- Mozilla Foundation. (2023b). *State machine*. Online. Descargado de [https://developer.mozilla.org/en-US/docs/Glossary/State\\_machine](https://developer.mozilla.org/en-US/docs/Glossary/State_machine)
- Object Management Group. (2005). *What is uml?* Descargado de <https://www.uml.org/what-is-uml.htm>
- Object Management Group. (2015). *What is sysml?* Online. Descargado de <https://www.omgsysml.org/what-is-sysml.htm>

- Ouareth, S., Boulehouache, S., y Mazouzi, S. (2018). A component-based mape-k control loop model for self-adaptation. En *2018 3rd international conference on pattern analysis and intelligent systems (pais)* (p. 1-7). doi: 10.1109/PAIS.2018.8598529
- Patouni, E., y Alonistioti, N. (2006). A framework for the deployment of self-managing and self-configuring components in autonomic environments. En *2006 international symposium on a world of wireless, mobile and multimedia networks(wowmom'06)* (p. 5 pp.-484). doi: 10.1109/WOWMOM.2006.11
- Rajan, M., Balamuralidhar, P., Chethan, K., y Swarnahpriyaah, M. (2011). A self-reconfigurable sensor network management system for internet of things paradigm [Conference paper]. Descargado de <https://www.scopus.com/inward/record.uri?eid=2-s2.0-84858147900&doi=10.1109%2fICDECOM.2011.5738550&partnerID=40&md5=ed1f7dcedf65e520a328eb3a19b581e> (Cited by: 17) doi: 10.1109/ICDECOM.2011.5738550
- Red Hat Foundation. (2023). *What is yaml?* Descargado 2023-5-27, de <https://www.redhat.com/en/topics/automation/what-is-yaml>
- Rutanen, K. (2018). Minimal characterization of o-notation in algorithm analysis. *Theoretical computer science*, 713, 31–41.
- Salehie, M., y Tahvildari, L. (2005, 01). Autonomic computing: emerging trends and open problems. *ACM SIGSOFT Software Engineering Notes*, 30, 1-7.
- Schiller, J., y Voisard, A. (2004). *Location-Based services*. Oxford, England: Morgan Kaufmann.
- Sebesta, R. W. (2012). *Concepts of programming languages* (12.<sup>a</sup> ed.). Pearson Education. Descargado de <https://books.google.com.co/books?id=vRQvAAAAQBAJ>
- Sipser, M. (2012). *Introduction to the theory of computation* (3.<sup>a</sup> ed.). Belmont, CA: Wadsworth Publishing.
- Tahir, M., Mamoon Ashraf, Q., y Dabbagh, M. (2019). Towards enabling autonomic computing in iot ecosystem. En *2019 ieee intl conf on dependable, autonomic and secu-*

*re computing, intl conf on pervasive intelligence and computing, intl conf on cloud and big data computing, intl conf on cyber science and technology congress (dasc/picom/cbdcom/cyberscitech)* (p. 646-651). doi: 10.1109/DASC/PiCom/CBDCom/CyberSciTech.2019.00122

Wang, Z., Sun, C.-a., y Aiello, M. (2021). Lightweight and context-aware modeling of microservice-based internet of things. En *2021 ieee international conference on web services (icws)* (p. 282-292). doi: 10.1109/ICWS53863.2021.00046

Weiss, G., Zeller, M., y Eilers, D. (2011). *Towards automotive embedded systems with self-x properties*. Fraunhofer-Gesellschaft. Descargado de <https://publica.fraunhofer.de/handle/publica/224379> doi: 10.24406/PUBLICA-FHG-224379

## A Apéndices

### A.1 Ejemplo de un YAML de una aplicación válida

```
locations:
  campus-central:
    name: "Campus Central"
    locations:
      laboratorios-pesados:
        name: "Laboratorios Pesados"
        ip: '192.168.0.2'
      mecanica:
        name: "Mecanica"
        ip: '192.168.0.3'
      camilo-torres:
        name: "Camilo Torres"
        locations:
          ct-primer:
            name: "Primer Piso"
            ip: '192.168.0.6'
          ct-segundo:
            name: "Segundo Piso"
            ip: '192.168.0.5'

  malaga:
    name: "Sede Malaga"
    locations:
      reconver-gan:
        name: "Laboratorio De Reconversion Ganadera"
        ip: '192.168.0.127'
      admon-malaga:
        name: "Administracion Sede Malaga"
        ip: '192.168.0.126'

  barichara:
    name: "Sede Barichara"
    ip: "192.168.1.1"

components:
  dol139:
    name: "DOL 139 Environmental Monitor"
    component-type: "sensor"
    locations:
      malaga:
        quantity: 3
        timeout: 15
        required: true
      campus-central:
        quantity: 3
        timeout: 15
        required: true
      camilo-torres:
        quantity: 1
        timeout: 15
        required: false
    components:
      temperature-sensor:
```

```

        name: "Temperature Sensor"
        component-type: "sensor"
        required: true
        outputs:
            temperature: "float"
    co2-sensor:
        name: "CO2 Sensor"
        component-type: "sensor"
        required: true
        outputs:
            ppm: "float"
    humidity-sensor:
        name: "Humidity Sensor"
        component-type: "sensor"
        required: true
        outputs:
            RH: "float"
pm:
    name: "Particulate Matter Monitor"
    component-type: "sensor"
    locations:
        mecanica:
            quantity: 1
            timeout: 60
            required: false
        admon-malaga:
            quantity: 2
            timeout: 60
            required: true
    components:
        pm25:
            name: "PM2.5 Sensor"
            component-type: "sensor"
            required: false
            outputs:
                ppm: "float"

        pm10:
            name: "PM10 Sensor"
            component-type: "sensor"
            required: false
            outputs:
                ppm: "float"

barometric:
    name: "Barometric Pressure Sensor"
    locations:
        campus-central:
            quantity: 1
            required: true
            timeout: 3600
        malaga:
            quantity: 1
            required: true
            timeout: 3600
    component-type: "sensor"
    outputs:
        atm: "float"

```